

As II のスペクトルの $4s4p^3$ のタームの超微細構造

村川 梨・諏訪 繁樹

Hyperfine Structure of the $4s4p^3$ Configuration of the Spectrum of As II

Kiyoshi MURAKAWA and Shigeki SUWA

ABSTRACT: The hyperfine structure (hfs) of the $4s4p^3$ configuration of the spectrum of As II was studied with the aid of a hollow cathode discharge tube and a Fabry-Perot etalon. From the hfs of the term $4s4p^3\ ^3D_1$ the value of the quadrupole moment of As_{33}^{75} was deduced to be $Q=(0.32\pm 0.05)\cdot 10^{-24}$ cm², in agreement with the value (deduced from the hfs of the configuration $4p5s$) given in the literature. The inaccuracy in calculating Q comes partly from the inaccuracy of the theoretical value of the effective nuclear charge for the p -electron.

From the hfs of the term $4s4p^3\ ^3D_3$ the value of the nuclear magnetic moment of As was calculated to be $\mu=(1.45\pm 0.15)$ n. m. in agreement with the nuclear induction value.

(Received August 1, 1952)

1. まえがき

AsII のスペクトルの超微細構造(今後はこれを hfs と略記する)は既に知られていて^{(1),(2),(6)} As_{33}^{75} のスピンは $3/2$. 四極能率 (Q) は 0.3×10^{-24} cm² ということが結論されている. このうちスピンの値は何等の疑がもない. 文献にある Q の値は AsII の $4p5s$ のタームの hfs から導き出されたものであるので, 更に別のタームから確かめることが望ましい. このような目的で研究をした結果をここに述べて見たい.

2. 実験の装置と結果

As II のスペクトルは水冷の hollow cathode discharge によつて得られ, As をつけた cathode の附近を helium がサーキュレートした. Hfs をしらべるためには Fabry-Perot etalon を用いた. Fig. 1 は我々の撮つた写真のうちで代表的なものを示すものである.

Fig. 2—4 は上に述べた目的に適するスペクトル線の hfs と transition scheme を示すものである. 我々は $4s4p^3$ のタームに着目しているので

ある.

Fig. 2—4 から得られる $4\ 4p^3\ ^3D_{1,2,3}$ なる term の interval factor (A) と quadrupole constant (B) とを Table 1 に示す.

Table 1. Hfs constants of the terms $4s4p^3\ ^3D_{1,2,3}$

| term | $A(\text{cm}^{-1})$ | $B(\text{cm}^{-1})$ |
|-----------------|---------------------|---------------------|
| $4s4p^3\ ^3D_3$ | 0.0802 | ≈ 0 |
| 3D_2 | 0.044 | ? (positive) |
| 3D_1 | -0.0736 | 0.00043 |

3. Q 値の計算

$4s4p^3\ ^3D_{1,2,3}$ の quadrupole constant B から Q を計算するために必要な式を求め度い.

先ず (jj) coupling に於ける p^3 の wave function は Crawford-Wills のペーパー⁽⁴⁾にあるものを更に完結させると次の通りに書くことができる(但し j, m の一電子の wave function を $(j)_m$ であらわす).

$(3/2, 3/2, 3/2)$ sub-group.

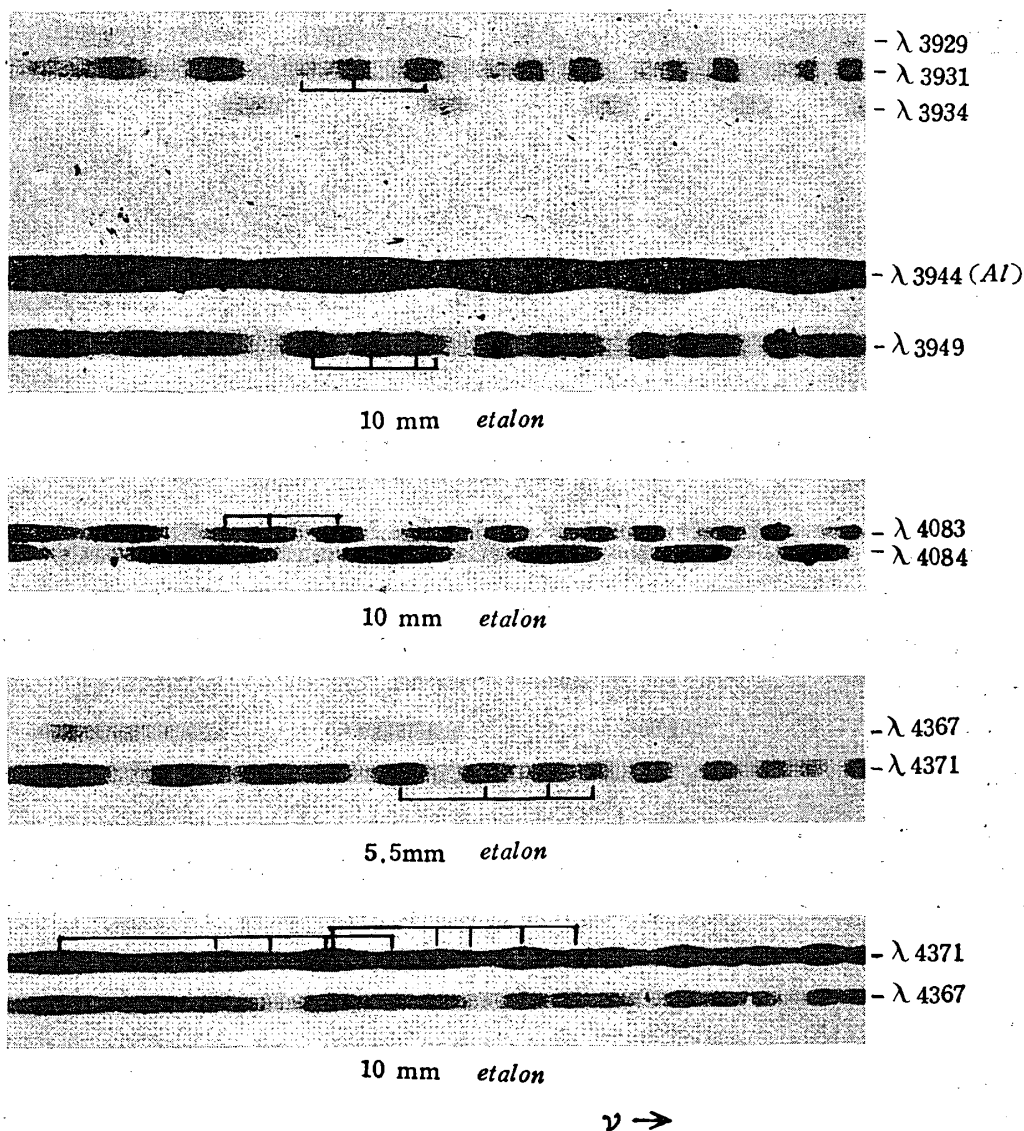


Fig. 1. Enlargement of some interference patterns of the spectrum of As II.

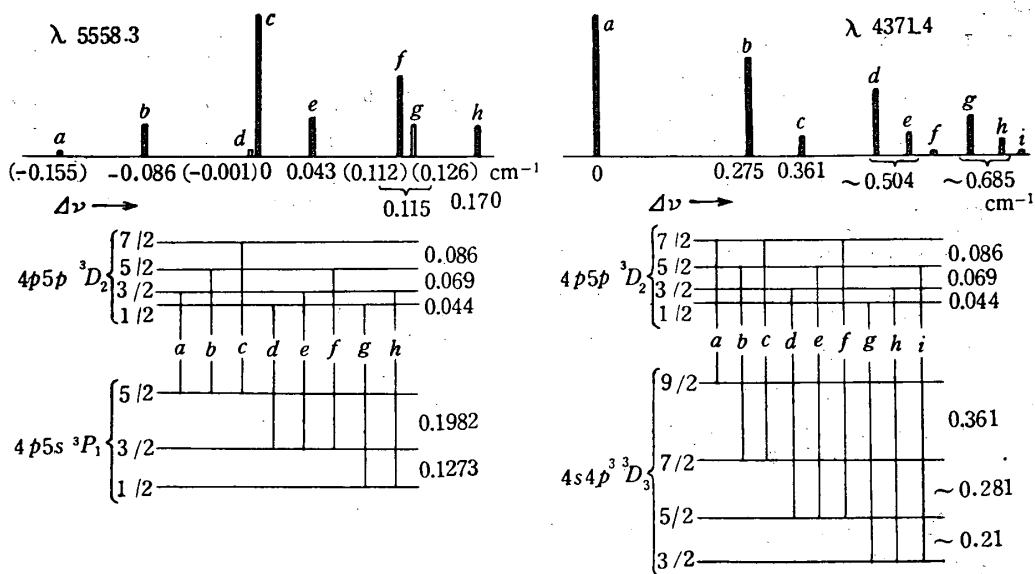
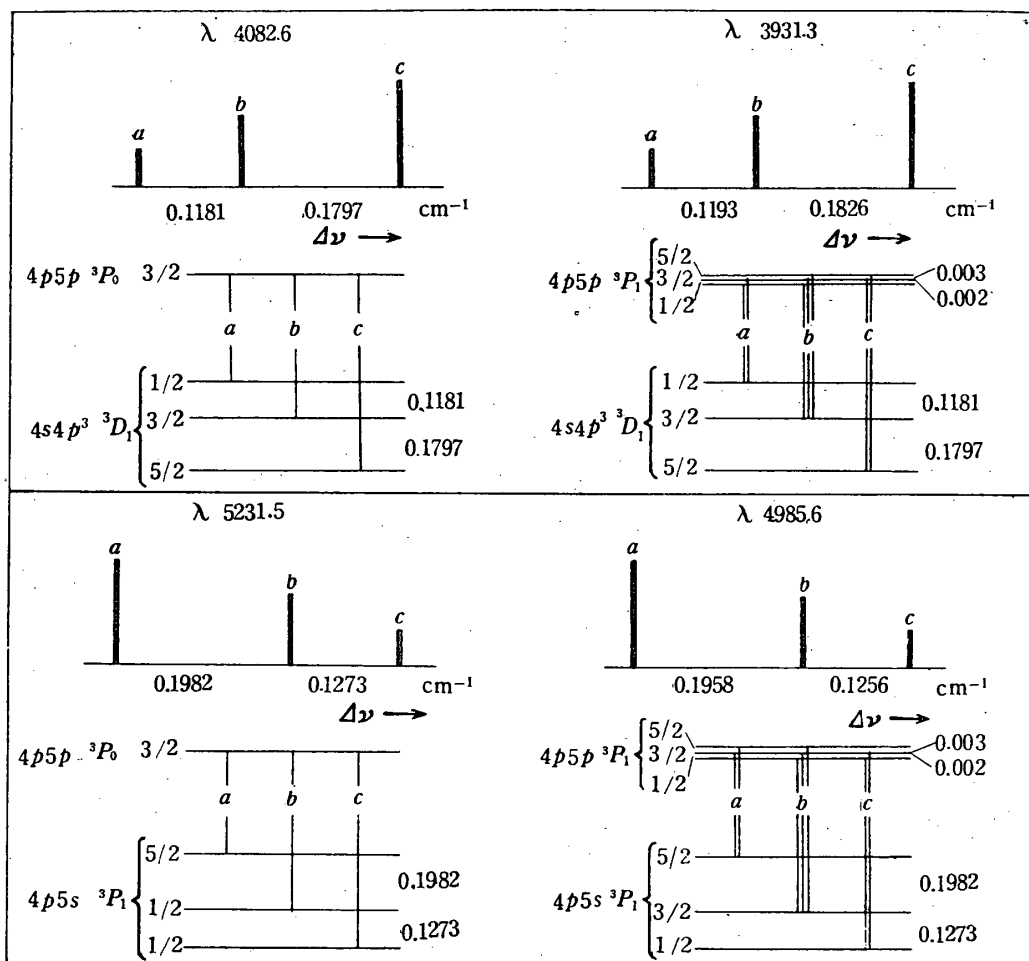
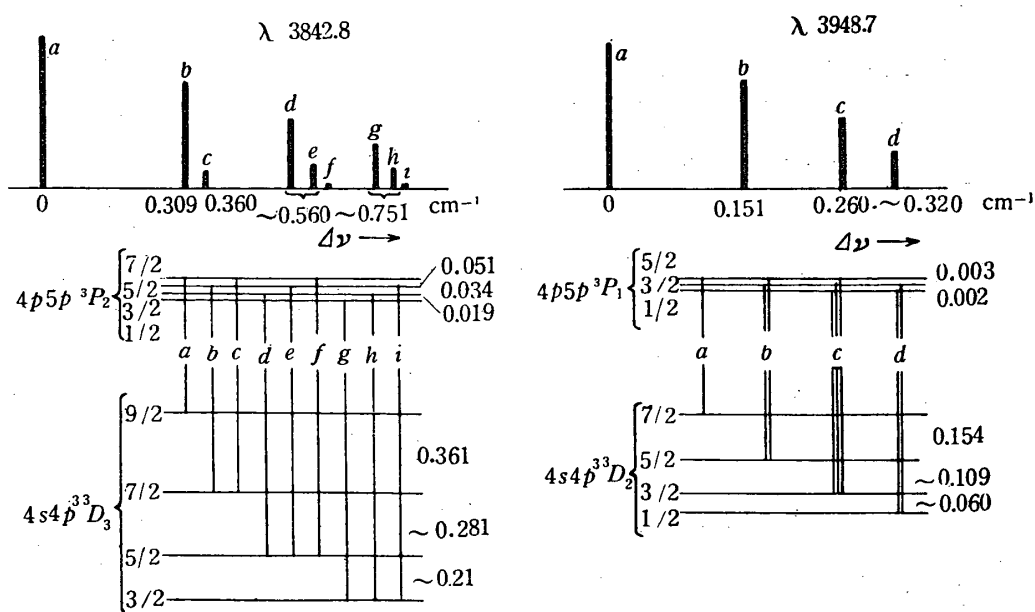


Fig. 3. Hfs of As II λ 5558.3 and λ 4371.4.

Fig. 2. Hfs of As II λ 4082.6, λ 3931.3, λ 5231.5 and λ 4985.6.Fig. 4. Hfs of As II λ 3842.8 and λ 3948.7.

$$\psi_{3/2}^{3/2} = \frac{1}{\sqrt{6}} \left[(3/2)_{3/2}, (3/2)_{1/2}, (3/2)_{-1/2} \right]$$

$$\psi_{1/2}^{3/2} = \frac{1}{\sqrt{6}} \left[(3/2)_{3/2}, (3/2)_{1/2}, (3/2)_{-3/2} \right]$$

(3/2, 3/2, 1/2) sub-group.

$$\varphi_{5/2}^{5/2} = \frac{1}{\sqrt{6}} \left[(3/2)_{3/2}, (3/2)_{1/2}, (1/2)_{1/2} \right]$$

$$\varphi_{3/2}^{3/2} = \frac{1}{\sqrt{5}} \frac{1}{\sqrt{6}} \left[(3/2)_{1/2}, (3/2)_{-1/2}, (1/2)_{1/2} \right] - \frac{2}{\sqrt{5}} \frac{1}{\sqrt{6}} \left[(3/2)_{3/2}, (3/2)_{1/2}, (1/2)_{-1/2} \right]$$

$$\varphi_{1/2}^{1/2} = \frac{1}{\sqrt{2}} \frac{1}{\sqrt{6}} \left[(3/2)_{3/2}, (3/2)_{-3/2}, (1/2)_{1/2} \right] - \frac{1}{\sqrt{2}} \frac{1}{\sqrt{6}} \left[(3/2)_{1/2}, (3/2)_{-1/2}, (1/2)_{1/2} \right]$$

$$\varphi_{3/2}^{5/2} = \frac{2}{\sqrt{5}} \frac{1}{\sqrt{6}} \left[(3/2)_{3/2}, (3/2)_{-1/2}, (1/2)_{1/2} \right] + \frac{1}{\sqrt{5}} \frac{1}{\sqrt{6}} \left[(3/2)_{3/2}, (3/2)_{1/2}, (1/2)_{-1/2} \right]$$

$$\varphi_{1/2}^{3/2} = \frac{1}{\sqrt{5}} \frac{1}{\sqrt{6}} \left[(3/2)_{1/2}, (3/2)_{-1/2}, (1/2)_{1/2} \right] + \frac{1}{\sqrt{5}} \frac{1}{\sqrt{6}} \left[(3/2)_{3/2}, (3/2)_{-3/2}, (1/2)_{1/2} \right]$$

$$-\frac{\sqrt{3}}{\sqrt{5}} \frac{1}{\sqrt{6}} \left[(3/2)_{3/2}, (3/2)_{-1/2}, (1/2)_{-1/2} \right]$$

(3/2, 1/2, 1/2) sub-group

$$\chi_{3/2}^{3/2} = \frac{1}{\sqrt{6}} \left[(3/2)_{3/2}, (1/2)_{-1/2}, (1/2)_{1/2} \right]$$

$$\chi_{1/2}^{3/2} = \frac{1}{\sqrt{6}} \left[(3/2)_{1/2}, (1/2)_{-1/2}, (1/2)_{1/2} \right]$$

(*jj*) coupling の p^3s の wave function はこれに s 電子の wave function s をつければよいから、次のようになる (Crawford-Wills による).

$$J=3, \quad m=3. \quad \text{I} = s\varphi^{5/2} = s_{1/2}\varphi_{5/2}^{5/2}$$

$$J=2, \quad m=2. \quad \text{I} = s\psi^{3/2} = s_{1/2}\psi_{3/2}^{3/2}$$

$$\text{II} = s\varphi^{5/2} = \sqrt{\frac{5}{6}} s_{-1/2}\varphi_{5/2}^{5/2} - \sqrt{\frac{1}{6}} s_{1/2}\varphi_{3/2}^{5/2}$$

| | | | | | |
|-----|-------------------------------------|--------------------------|-------------------------------------|-------------------------------------|--------------------------------|
| I | (2/5) R' | [6/(5 $\sqrt{15}$)] S | [2 $\sqrt{2}$ /(5 $\sqrt{5}$)] S | 0 | $\left(\frac{1}{r^3} \right)$ |
| II | [6/(5 $\sqrt{15}$)] S | 0 | 0 | [6/(5 $\sqrt{15}$)] S | |
| III | [2 $\sqrt{2}$ /(5 $\sqrt{5}$)] S | 0 | 0 | [2 $\sqrt{2}$ /(5 $\sqrt{5}$)] S | |
| IV | 0 | [6/(5 $\sqrt{15}$)] S | [2 $\sqrt{2}$ /(5 $\sqrt{5}$)] S | (-2/5) R' | |

$$\text{III} = s\varphi^{3/2} = s_{1/2}\varphi_{3/2}^{3/2}; \quad \text{IV} = s\chi^{3/2} = s_{1/2}\chi_{3/2}^{3/2}$$

$$J=1, \quad m=1. \quad \text{I} = s\psi^{3/2} = \frac{\sqrt{3}}{2} s_{-1/2}\psi_{3/2}^{3/2}$$

$$-\frac{1}{2} s_{1/2}\psi_{1/2}^{3/2}$$

$$\text{II} = s\varphi^{3/2} = -\frac{\sqrt{3}}{2} s_{-1/2}\varphi_{3/2}^{3/2} + \frac{1}{2} s_{1/2}\varphi_{1/2}^{3/2}$$

$$\text{III} = s\varphi^{1/2} = s_{1/2}\varphi_{1/2}^{1/2}$$

$$\text{IV} = s\chi^{3/2} = \frac{\sqrt{3}}{2} s_{-1/2}\chi_{3/2}^{3/2} - \frac{1}{2} s_{1/2}\chi_{1/2}^{3/2}$$

(LS) coupling に於ける p^3s の wave function は次に書く transformation matrix [(*jj*)→(LS)] を用いて前記の wave function から導びき出すことができる (これも Crawford-Wills による).

| | | | | |
|---------|------------------|---------------------|--------------------------|-------------------|
| $J=2$ | $s\psi^{3/2}$ | $s\varphi^{5/2}$ | $s\varphi^{3/2}$ | $s\chi^{3/2}$ |
| 5S_2 | $-\sqrt{2}/3$ | 0 | $\sqrt{5}/3$ | $\sqrt{2}/3$ |
| 3D_2 | $1/\sqrt{6}$ | $\sqrt{2}/\sqrt{5}$ | $2/\sqrt{15}$ | $-1/\sqrt{6}$ |
| 3P_2 | $-1/\sqrt{2}$ | 0 | 0 | $-1/\sqrt{2}$ |
| 1D_2 | $-1/3$ | $\sqrt{3}/\sqrt{5}$ | $-2\sqrt{2}/(3\sqrt{5})$ | $1/3$ |
| $J=1$ | $s\psi^{3/2}$ | $s\varphi^{3/2}$ | $s\varphi^{1/2}$ | $s\chi^{3/2}$ |
| 3S_1 | $-\sqrt{2}/3$ | $-\sqrt{5}/3$ | 0 | $\sqrt{2}/3$ |
| 3D_1 | $5/(3\sqrt{10})$ | $-2/3$ | 0 | $-5/(3\sqrt{10})$ |
| 3P_1 | $-1/\sqrt{6}$ | 0 | $-\sqrt{2}/\sqrt{3}$ | $-1/\sqrt{6}$ |
| 1P_1 | $-1/\sqrt{3}$ | 0 | $1/\sqrt{3}$ | $-1/\sqrt{3}$ |

Q を計算するには $(3 \cos^2 \theta - 1)/(r^3)$ を計算しなければならない。上記の wave function を用いてこれの matrix element を計算した結果は次の通りである。

(I) $(3 \cos^2 \theta - 1)/r^3$ of p^3s in (*jj*) coupling.

$$J=3, \quad 0$$

$$J=2,$$

J=1

$$\begin{array}{l} \text{I} \\ \text{II} \\ \text{III} \\ \text{IV} \end{array} \left| \begin{array}{cccc} (1/5)R' & [(-\sqrt{2})/(5\sqrt{5})]S & (1/5)S & 0 \\ [-\sqrt{2}/(5\sqrt{5})]S & 0 & [-4/(5\sqrt{10})]R' & [-\sqrt{2}/(5\sqrt{5})]S \\ (1/5)S & [-4/(5\sqrt{10})]R' & 0 & (-1/5)S \\ 0 & [-\sqrt{2}/(5\sqrt{5})]S & (-1/5)S & (-1/5)R' \end{array} \right| \left(\frac{1}{r^3} \right)$$

(II) $(3\cos^2\theta-1)/r^3$ of p^3s in (LS) coupling

J=2

$$\begin{array}{l} {}^5S_2 \\ {}^3D_2 \\ {}^3P_2 \\ {}^1D_2 \end{array} \left| \begin{array}{cccc} 0 & 0 & (4/15)(R-S) & 0 \\ 0 & 0 & [-2/(5\sqrt{3})](R'+2S) & 0 \\ (4/15)(R'-S) & [-2/(5\sqrt{3})](R'+2S) & 0 & (2\sqrt{2}/15)(R'-S) \\ 0 & 0 & (2\sqrt{2}/15)(R'-S) & 0 \end{array} \right| \left(\frac{1}{r^3} \right)$$

J=1

$$\begin{array}{l} {}^3S_1 \\ {}^3D_1 \\ {}^3P_1 \\ {}^1P_1 \end{array} \left| \begin{array}{cccc} 0 & 0 & \frac{-2(R'-S)}{15\sqrt{3}} & \frac{4\sqrt{2}(R'-S)}{15\sqrt{3}} \\ 0 & 0 & \frac{-(13R'+14S)}{15\sqrt{15}} & \frac{-\sqrt{2}(R'-S)}{15\sqrt{15}} \\ \frac{-2(R'-S)}{15\sqrt{3}} & \frac{-(13R'+14S)}{15\sqrt{15}} & 0 & 0 \\ \frac{4\sqrt{2}(R'-S)}{15\sqrt{3}} & \frac{-\sqrt{2}(R'-S)}{15\sqrt{15}} & 0 & 0 \end{array} \right| \left(\frac{1}{r^3} \right)$$

但し As_{33}^{75} では relativity correction R' , S は次の値を持つている:

$$R' = 1.034, \quad S = 1.058.$$

これらを用いて実際の場合の intermediate coupling のときの値を出さなければならない。そ

$$J=2. \quad \begin{array}{l} {}^5S_2 \\ {}^3D_2 \\ {}^3P_2 \\ {}^1D_2 \end{array} \left| \begin{array}{cccc} -(3/2)-\xi-w & 0 & \beta & 0 \\ 0 & -w & -(\sqrt{3}/2)\beta & 0 \\ \beta & -(\sqrt{3}/2)\beta & 1-w & (\sqrt{2}/2)\beta \\ 0 & 0 & (\sqrt{2}/2)\beta & 2\xi-w \end{array} \right| = 0$$

$$J=1. \quad \begin{array}{l} {}^3S_1 \\ {}^3D_1 \\ {}^3P_1 \\ {}^1P_1 \end{array} \left| \begin{array}{cccc} -(3/2)+3\xi-w & 0 & (1/\sqrt{3})\beta & (\sqrt{2}/\sqrt{3})\beta \\ 0 & -w & -(\sqrt{5}/2\sqrt{3})\beta & -(\sqrt{5}/\sqrt{6})\beta \\ (1/\sqrt{3})\beta & -(\sqrt{5}/2\sqrt{3})\beta & 1-w & 0 \\ (\sqrt{2}/\sqrt{3})\beta & -(\sqrt{5}/\sqrt{6})\beta & 0 & 1+2\xi-w \end{array} \right| = 0$$

但し $F^2/25=F_2$, $G^2/3=G_1$ として $\beta=\zeta_p/(6F_2)$, $\xi=G_1/(6F_2)$, $W/(6F_2)=w$ とおいてある。

タームの値のオリジンとして $W({}^3D_3)=0$ ととり、実際の値* を代入して必要な数値を次のよう

* As II のスペクトル⁽³⁾ のタームのうちで最も重要なものを (文献 3 よりももっと正確にノルマライズして) 列挙すれば次の通りである。(単位は cm^{-1})。

| | | | |
|------|-----------------|------|-----------------|
| 4s4p | ${}^3D_3=76544$ | 4p5s | ${}^3P_2=69280$ |
| | ${}^3D_2=76926$ | | ${}^3P_1=71661$ |
| | ${}^3D_1=77038$ | | ${}^3P_0=72058$ |
| | ${}^3P_2=65683$ | | ${}^1P_1=67970$ |
| | ${}^3P_1=66153$ | | |
| | ${}^3P_0=66337$ | | |
| | ${}^1P_1=67688$ | | |

のために, As II の 4s4p のタームは可なり (LS) coupling に近いことに着目して, Johnson の (LS) coupling の energy matrix⁽⁵⁾ を出発点として secular equation を立てると次のようになる。

に求めることができる。

$$6F_2=W({}^3P_0)-W({}^3D_3)=10207 \text{ cm}^{-1}.$$

$$-\frac{3}{4}\beta^2=w({}^3D'_2)=-0.0374;$$

$$\beta^2=0.0499 \quad \therefore \beta=0.223$$

他方 δ (doublet splitting of the 4p electron) = $2.77 \times 10^3 \text{ cm}^{-1}$ であるから $\zeta_p = \frac{2}{3}\delta = 1850 \text{ cm}^{-1}$ となり, これを $\beta=\zeta_p/(6F_2)$ に代入して $\beta=0.183$ が得られる。これと上記の β の値との平均をとって $\beta=0.203$ を最終的な値とする。

上記の secular equation を解いて β^2 の項までをとれば次のようになる。

$$J=2: w({}^3D_2') = -\frac{3}{4}\beta^2$$

$$w({}^1D_2') = 2\xi + \frac{1}{2(2\xi-1)}\beta^2$$

$$w({}^3S_2') = -\frac{3}{2} - \xi - \frac{1}{(5/2)+\xi}\beta^2$$

$$w({}^3P_3') = 1 + \left[\frac{3}{4} + \frac{1}{2(1-2\xi)} + \frac{1}{\xi+(5/2)} \right] \beta^2$$

$$J=1: w({}^3S_1') = -\frac{3}{2} + 3\xi - \left[\frac{1}{3\{(5/2)-3\xi\}} + \frac{2}{3\{(5/2)-\xi\}} \right] \beta^2$$

$$w({}^3D_1') = -\left[\frac{5}{12} + \frac{10}{12(1+2\xi)} \right] \beta^2$$

$$w({}^3P_1') = 1 + \left[\frac{5}{12} + \frac{1}{3\{(5/2)-3\xi\}} \right] \beta^2$$

$$w({}^1P_1') = 1 + 2\xi + \left[\frac{10}{12(1+2\xi)} + \frac{2}{3\{(5/2)-\xi\}} \right] \beta^2$$

従がつて(LS)coupling に近い intermediate coupling のときの wave function は次のように書ける。

$$\Psi({}^3D_2') = K_1({}^5S_2) + K_2({}^3D_2) + K_3({}^3P_2) + K_4({}^1D_2)$$

$$K_1 = \frac{\sqrt{3}}{3+2\xi}\beta^2, \quad K_2 = \frac{1}{\sqrt{1+(3/4)\beta^2}}$$

$$K_3 = \frac{\sqrt{3}}{2}\beta, \quad K_4 = -\frac{\sqrt{6}}{8\xi}\beta^2$$

$$\Psi({}^3D_1') = K_1({}^3S_1) + K_2({}^3D_1) + K_3({}^3P_1) + K_4({}^1P_1)$$

$$K_1 = \frac{\sqrt{5}(3+2\xi)}{3(1+2\xi)(3-6\xi)}\beta^2$$

$$K_2 = \frac{1}{\sqrt{1+\{(5/12)+[(5/6)/(1+2\xi)^2]\}}}\beta^2$$

$$K_3 = \frac{\sqrt{15}}{6}\beta, \quad K_4 = \frac{\sqrt{5}}{\sqrt{6}(1+2\xi)}\beta$$

これにより intermediate coupling における $(3\cos^2\vartheta-1)/r^3$ を求めることができ、次のような結果になる。

$$({}^3D_2'|(3\cos^2\vartheta-1)/r^3|{}^3D_2') = \left[\frac{8}{15}K_1K_3(R'-S) - \frac{4}{5\sqrt{3}}K_2K_3(R'+2S) + \frac{4\sqrt{2}}{15}K_3K_4(R' \right.$$

$$\left. -S\right)(1/r^3) = -1.26\beta(1/r^3)$$

$$({}^3D_1'|(3\cos^2\vartheta-1)/r^3|{}^3D_1') = \left[\frac{4}{15\sqrt{3}}K_1K_3(S-R) + \frac{8\sqrt{2}}{15\sqrt{3}}K_1K_4(R'-S) - \frac{2}{15\sqrt{15}}K_2K_3(13R'+14S) + \frac{2\sqrt{2}}{15\sqrt{15}}K_2K_4(S-R') \right] (1/r^3) = -0.628\beta(1/r^3)$$

但し $\xi=1-2$ なる程度の値が代入してあるが、これは大して重要ではない。

そこで、最後に quadrupole moment Q の式

$$Q = -\frac{B \cdot Z_i H \cdot I(2I-1) J(2J-1)}{\zeta_p \Sigma(3\cos^2\vartheta-1)} 1.988 \times 10^{-21}$$

の中に実際の値

$$Z_i = 33-3=30, \quad H=1.02, \quad \zeta_p=1850,$$

$$\beta=0.203, \quad I=3/2$$

及び Table 1 の B の値を代入すれば次の値が得られる。

$$Q(\text{As}_{33}^{75}) > 0 \quad \text{from } 4s4p^3 {}^3D_2$$

$$Q(\text{As}_{33}^{75}) = (0.32 \pm 0.05) \times 10^{-24} \text{ cm}^2 \quad \text{from } 4s4p^3 {}^3D_1$$

ここで最も鋭敏に Q の正確度を左右するものは Z_i の値である。 p 電子の場合に $Z_i = Z-s$ として、 s に 2, 3, 4 のいずれを代入すべきかについて確定的な解答を与えている文献がないので、ここではその中間の $s=3$ を選んだ。

最後に、 $4s4p^3 {}^3D_3$ の interval factor A から磁気能率 μ を定めて見よう。この場合には coupling に無関係に μ を定めることができるから、 3D_2 又は 3D_1 の A から μ を求めることよりも正確度が大きい。Crawford-Wills により次式が与えられている。

$$A(sp^3 {}^3D_3) = \frac{1}{6}a(s) + \frac{2}{3}a' + \frac{1}{6}a''$$

$$a' = a(4p_{1/2}), \quad a'' = a(4p_{3/2})$$

この式に

$$a(p) = \frac{\delta l(l+1)F\mu}{Ij(j+1)(l+\frac{1}{2})Z_i H 1836}$$

$$F' = 1.02, \quad F'' = 1.095, \quad H = 1.02,$$

$$Z_i = 30, \quad \delta = 2.77 \times 10^3 \text{ cm}^{-1}$$

及び

$$a(s) = \frac{Z Z_0^2 \cdot F(dn^*/dn)\mu}{I n^{*3} 117.8}$$

$$Z=33, Z_0=2, F=1.12, n^*=1.62,$$

$$dn^*/dn=1.12$$

及び Table 1 の $A(sp^3 \ ^3D_3)$ の値を代入すれば

$$\mu(\text{As}_{33}^{75})=1.45 \pm 0.15 \text{ n. m}$$

が得られる。これは以前に我々が求めた 1.4 n. m なる値⁽⁶⁾ 及び nuclear induction で得られたものと正確な値⁽⁷⁾ $1.4347 \pm 0.0003 \text{ n. m.}$ とよく一致する。

文 献

(1) S. Tolansky: Proc. Roy. Soc. London, 137(1932),

541; ZS. f. Phys., 87 (1933), 210.

(2) H. Schüler u. M. Marketu: ZS. f. Phys., 102 (1936), 703.

(3) A. S. Rao: Ind. Journ. Phys., 7 (1932), 561.

(4) M. F. Crawford and L. A. Wills: Phys. Rev., 48 (1935), 69.

(5) M. H. Johnson: Phys. Rev., 39 (1932), 197.

(6) J. E. Mack: Rev. Mod. Phys., 22 (1950), 64.

(7) S. S. Dharmatti and H. E. Weaver: Phys. Rev., 84 (1951), 367.

(1952 年 8 月 1 日受理)